

УДК 532.5+519.63
DOI: 10.15372/PMTF202215142

ВЛИЯНИЕ НЕРОВНОСТИ ДНА НА ХАРАКТЕРИСТИКИ ВЗАИМОДЕЙСТВИЯ УЕДИНЕННОЙ ВОЛНЫ С ПОЛУПОГРУЖЕННЫМ ТЕЛОМ ПРЯМОУГОЛЬНОГО СЕЧЕНИЯ

О. И. Гусев*, В. С. Скиба^{*,**}, Г. С. Хакимянов*, Л. Б. Чубаров*

* Федеральный исследовательский центр информационных и вычислительных технологий,
Новосибирск, Россия

** Новосибирский национальный исследовательский государственный университет,
Новосибирск, Россия

E-mails: gusev_oleg_igor@mail.ru, vassiliyskiba@gmail.com, khak@ict.nsc.ru,
chubarovster@gmail.com

Рассматривается задача о взаимодействии уединенной волны с частично погруженным над неровным дном неподвижным телом. Для решения этой задачи используются нелинейно-дисперсионная модель мелкой воды (Серре — Грина — Нагди) и модель потенциальных течений. Численно исследуется влияние горизонтальных и вертикальных размеров неровностей дна и их расположения относительно полупогруженного тела на значения суммарной силы, действующей на препятствие. Показано, что горизонтальная составляющая этой силы монотонно увеличивается при увеличении вертикального размера и длины подводного препятствия. Этот эффект усиливается и при приближении к телу, а на вертикальную составляющую силы наличие препятствия оказывает слабое влияние, при этом ее зависимость от размера препятствия может быть немонотонной.

Ключевые слова: уединенная волна, неровное дно, полупогруженное тело, нелинейно-дисперсионные уравнения, условия сопряжения, силовое воздействие, результаты расчетов

Введение. На Всероссийской конференции “Нелинейные волны — 2022”, посвященной памяти члена-корреспондента РАН В. М. Тешукова, были представлены результаты [1] численного моделирования взаимодействия длинных волн с береговой линией и прибрежными конструкциями. Гидротехнические сооружения ответственного назначения в виде полупогруженных в воду и неподвижно закоренных на прибрежных участках акваторий тел требуют достаточно точной оценки возможного волнового воздействия, что обуславливает актуальность настоящей работы. К такого рода сооружениям относятся плавучие атомные электростанции, хранилища сжиженного газа, регазификационные установки и др. Одним из источников опасного воздействия являются длинные поверхностные волны (цунами), неоднократно наблюдавшиеся на тихоокеанском и черноморском побережьях России. Большинство таких волн имеют сейсмическое происхождение, реже — оползневую, обвальную, метеорологическую природу, могут порождаться извержением вулканов и крайне редко падением крупных космических объектов.

Работа выполнена при финансовой поддержке Российского научного фонда (код проекта 21-71-00127).

© Гусев О. И., Скиба В. С., Хакимянов Г. С., Чубаров Л. Б., 2023

Разнообразие механизмов генерации цунами приводит к разнообразию форм и характеристик волн, воздействующих на плавучие гидротехнические объекты. Более того, механизмы одного и того же типа могут породить волны различных форм [2]. Однако часто, особенно в случае удаленных цунами, время распространения которых в океане приводит к частотной дисперсии, головные фрагменты мареограмм, записанных на значительном удалении от источника, становятся подобными мареограммам уединенной или одиночной волны. Мареограммы, записанные вблизи очагов цунамигенерирующих землетрясений, могут быть близки по форме к мареограммам так называемых N -волн. Это позволяет использовать волны указанных форм для определения базовых характеристик волнового воздействия на модельные конструкции [3]. В настоящей работе представлены результаты, полученные для модельного цунами в виде уединенной волны, распространяющейся над неровным дном.

Влияние неровностей дна на трансформацию поверхностных волн изучается в течение длительного времени (см., например, [2, 4–9]). Выполнены исследования взаимодействия поверхностных волн с разного рода прибрежными сооружениями и разработаны методики оценки волновых нагрузок на конструкции при воздействии на них штормовых волн [10]. В последнее десятилетие с помощью аналитических, лабораторных и численных методов активно исследуется воздействие длинных волн типа цунами на большие полупогруженные конструкции (см., например, [3, 11, 12]). Результаты этих исследований показывают, что длина тела и его осадка (заглубление) оказывают существенное влияние на волновую картину перед телом и за ним, на отраженные от тела и прошедшие за него волны, на максимальные значения вертикальных заплесков на лицевую (обращенную к набегающей волне) и тыльную грани тела, на максимальные значения горизонтальных и вертикальных составляющих силы воздействия длинных волн на тело. При этом во всех случаях дно полагалось горизонтальным и влиянием неровностей дна пренебрегалось.

Представляет интерес исследование влияния неровностей дна на характеристики взаимодействия поверхностных волн с большими полупогруженными телами. Однако работ в этом направлении немного, а изложенные в них результаты недостаточно полные. Так, в [13] изучается воздействие регулярных волн на тело прямоугольной формы, расположенное над плоским откосом с углом заложения 3 : 100, и указывается, что волновые нагрузки на тело в этом случае отличаются от нагрузок в случае горизонтального дна. В [14] показано, что максимальные значения заплесков уединенной волны на лицевую грань тела монотонно увеличиваются при увеличении угла наклона плоского откоса, а на тыльной — уменьшаются, при этом угол откоса менялся от 0,1 до 1,4°, что соответствовало реальным условиям в области установки конструкции. В работе [15] исследовалось воздействие волн, созданных с помощью вакуумного волнопродуктора, на тело прямоугольной формы, расположенное над плоским откосом с углом заложения 1 : 50, и показано, что в рассмотренных диапазонах определяющих параметров значения максимальных заплесков на лицевую грань тела почти линейно увеличиваются с ростом амплитуды набегающей волны, заглубления тела и его длины. В работе [16] рассматривалось взаимодействие периодических волн, распространяющихся над горизонтальным дном, с большой неподвижной полупогруженной конструкцией, под которой дно имело неровность в виде полусферического возвышения. Результаты сравнения со случаем горизонтального дна показывают, что такая неровность дна незначительно изменяет максимальный заплеск на лицевую грань тела, однако ведет к росту давления на его днище.

Целью настоящей работы является определение зависимости силовых характеристик волнового воздействия от геометрических характеристик препятствия, расположенного перед объектом, его высоты и длины. Такая задача позволяет моделировать реальные ситуации, когда на пути волны от ее источника к объекту воздействия может оказаться

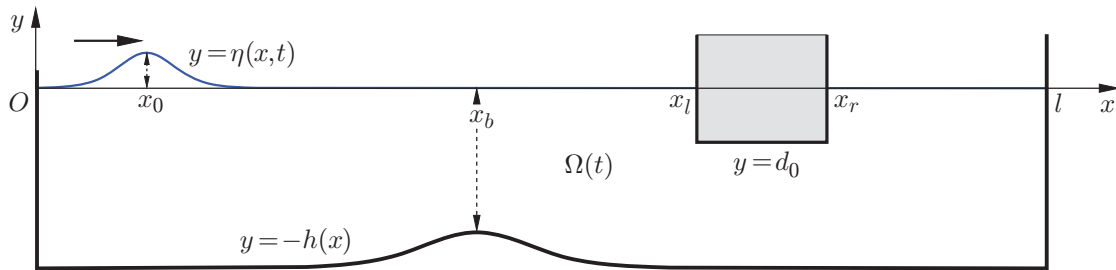


Рис. 1. Схема области течения в задаче о взаимодействии уединенной волны, распространяющейся над неровным дном, с полупогруженным неподвижным телом прямоугольной формы

либо подводное волнозащитное сооружение, либо фрагмент судоходного канала, либо зона отвала грунта, извлеченного при строительстве этого канала. Основные результаты получены с помощью полностью нелинейной дисперсионной модели Серре — Грина — Нагди (Serre — Green — Naghdi (SGN)) второго длинноволнового приближения [17]. Для оценки влияния дисперсии волн на процесс их взаимодействия с полупогруженным телом проведено сравнение с результатами, полученными в рамках бездисперсионной NSW-модели (nonlinear shallow water equations) первого длинноволнового приближения. Также проводится сравнение с результатами расчетов в рамках полностью нелинейной Pot-модели потенциальных течений жидкости.

1. Постановка задачи. Рассмотрим течение жидкости со свободной поверхностью в бассейне с непроницаемыми вертикальными стенками и расположенным в нем полупогруженным неподвижным телом прямоугольной формы с горизонтальным днищем. Будем полагать, что поверхностные волны распространяются по нормали к плоским боковым (лицевой и тыльной) вертикальным граням тела и параметры течения не зависят от одной из горизонтальных координат. Декартову систему координат Oxy с вертикальной осью Oy выберем таким образом, чтобы уравнение свободной поверхности покоящейся жидкости имело вид $y = 0$, а функция $y = -h(x)$ задавала рельеф дна (рис. 1). В этой системе координат левая и правая границы бассейна имеют координаты $x = 0$ и $x = l$ соответственно, лицевая и тыльная грани тела — $x = x_l$ и $x = x_r$ ($0 < x_l < x_r < l$), днище тела — $y = d_0$ ($d_0 < 0$, $-h(x) < d_0$ при $x \in [x_l, x_r]$).

Взаимодействие длинных поверхностных волн с полупогруженными телами исследовалось в рамках математических моделей для течений несжимаемой невязкой жидкости с плотностью ρ (далее $\rho = 1$). При использовании моделей мелкой воды область течения $D = (0, l)$ разбивалась на внешнюю часть $D^e = (0, x_l) \cup (x_r, l)$, где имеет место течение жидкости со свободной границей, и внутреннюю подобласть $D^i = (x_l, x_r)$ с течением несжимаемой жидкости в пространстве между днищем полупогруженного тела и дном акватории. Для склеивания решений в этих подобластях использовались условия сопряжения на их общих границах.

1.1. *Уравнения во внешней области D^e .* В области D^e течение моделируется с использованием нелинейно-дисперсионной SGN-модели [17]:

$$H_t + (Hu)_x = 0, \quad (Hu)_t + (Hu^2 + p)_x = \check{p}h_x, \quad x \in D^e, \quad (1)$$

где t — время; $u(x, t)$ — осредненная по глубине горизонтальная скорость потока; $H(x, t) = \eta(x, t) + h(x)$ — полная глубина; $\eta(x, t)$ — отклонение свободной поверхности от невозмущенного уровня; p — проинтегрированная по толщине слоя жидкости главная часть давления, удерживаемая в длинноволновом приближении; \check{p} — давление на дне:

$$p = gH^2/2 - \varphi, \quad \check{p} = gH - \psi, \quad (2)$$

g — ускорение свободного падения; φ , ψ — дисперсионные составляющие p и \check{p} соответственно:

$$\varphi = \frac{H^3}{3} R_1 + \frac{H^2}{2} R_2, \quad \psi = \frac{H^2}{2} R_1 + HR_2; \quad (3)$$

$$R_1 = u_{xt} + uu_{xx} - u_x^2, \quad R_2 = (u_t + uu_x)h_x + u^2h_{xx}. \quad (4)$$

Искомыми величинами в уравнениях (1) являются полная глубина H , скорость u и дисперсионная составляющая давления φ , которая находится как решение линейного относительно φ обыкновенного дифференциального уравнения второго порядка

$$(k\varphi_x)_x - k_0\varphi = F, \quad (5)$$

где

$$k = \frac{4}{Hr}, \quad k_0 = 6\left(\frac{2}{H^3} \frac{r-3}{r} + \left(\frac{h_x}{H^2r}\right)_x\right),$$

$$F = \left(g\eta_x + \frac{R h_x}{r}\right)_x - \frac{6R}{Hr} + 2u_x^2, \quad R = -g\eta_x h_x + u^2 h_{xx}, \quad r = 4 + h_x^2. \quad (6)$$

Дисперсионная составляющая давления на дне ψ выражается через искомые величины H , u , φ по формуле [17]

$$\psi = \frac{1}{r} \left(\frac{6\varphi}{H} + HR + \varphi_x h_x \right). \quad (7)$$

Для системы уравнений (1), (5) задаются краевые условия

$$u|_{x \in \Gamma_0} = 0, \quad \left(k\varphi_x - 6 \frac{h_x}{H^2 r} \varphi \right) \Big|_{x \in \Gamma_0} = 0, \quad \eta_x|_{x \in \Gamma_0} = 0; \quad (8)$$

$$\eta_x|_{x \in \Gamma} = 0, \quad (9)$$

а также условия сопряжения в точках $x \in \Gamma$ и начальные условия в D . В формуле (8) через $\Gamma_0 = \{0; l\}$ обозначена граница бассейна, $\Gamma = \{x_l; x_r\}$ — общая граница областей D^e и D^i .

1.2. *Уравнения во внутренней области D^i .* Во внутренней области решается система уравнений для нестационарных внутриканальных течений идеальной несжимаемой жидкости [18]. В случае рассматриваемой одномерной задачи с неподвижным дном и горизонтальным днищем тела эта система принимает вид

$$Q_x = 0, \quad u_t^i + u^i u_x^i + \frac{p_x^i}{S} = \frac{\check{p}^i}{S} h_x, \quad x \in D^i, \quad (10)$$

где $Q = S(x)u^i(x, t)$ — расход жидкости; $S(x) = h(x) + d_0$ — толщина слоя жидкости под телом; $u^i(x, t)$ — осредненная по этой толщине горизонтальная компонента скорости течения; $p^i(x, t)$ — проинтегрированное по толщине слоя давление; $\check{p}^i(x, t)$ — давление на дне, которое выражается через p^i [18]:

$$\check{p}^i = \frac{p^i}{S} + g \frac{S}{2} - \left(\frac{S^2}{6} R_1^i + \frac{S}{2} R_2^i \right),$$

величины R_1^i , R_2^i вычисляются по формулам (4), в которых вместо u следует использовать скорость u^i во внутренней области.

Из первого уравнения (10) следует независимость расхода от координаты x , что естественно для течения несжимаемой жидкости в канале переменного сечения. Таким образом, расход жидкости под телом зависит только от времени t , тогда $u^i(x, t) = Q(t)/S(x)$. Поэтому

$$R_1^i = -\frac{1}{S^2} \left[\dot{Q}S_x + Q^2 \left(\frac{S_x}{S} \right)_x \right], \quad R_2^i = -SR_1^i. \quad (11)$$

Следовательно, уравнение движения в (10) при каждом $x \in D^i$ принимает форму обыкновенного дифференциального уравнения

$$E\dot{Q} + \left(\frac{E}{2S}\right)\Big|_x Q^2 + \left(\frac{p^i}{S}\right)\Big|_x = \frac{g}{2} h_x, \quad (12)$$

где $E = (1 + h_x^2/3)/S$.

Таким образом, под телом необходимо определять давление $p^i(x, t)$ и расход $Q(t)$. Давление можно исключить из вычислений, если уравнение (12) проинтегрировать по области D^i . В результате получаем уравнение Риккати

$$I_1\dot{Q} + I_2Q^2 + \left(\frac{p^i}{S}\right)\Big|_{x_r-0} - \left(\frac{p^i}{S}\right)\Big|_{x_l+0} = I_3 \quad (13)$$

с постоянными коэффициентами I_1, I_2, I_3 :

$$I_1 = \int_{x_l}^{x_r} E(x) dx, \quad I_2 = \left(\frac{E}{2S}\right)\Big|_{x_r} - \left(\frac{E}{2S}\right)\Big|_{x_l}, \quad I_3 = \frac{g}{2} (h(x_r) - h(x_l)),$$

где $p^i|_{x_l+0}, p^i|_{x_r-0}$ — предельные со стороны внутренней области D^i значения давления p^i в точках x_l и x_r соответственно. Из уравнения (13) следует, что изменение расхода жидкости под телом обусловлено разностью значений давления на границе Γ внутренней области D^i . Эти граничные значения давления p^i определяются с помощью условий сопряжения, связывающих течения жидкости во внешней и внутренней областях.

1.3. *Условия сопряжения.* В рассматриваемой одномерной задаче условие для массового расхода имеет вид [18]

$$(Hu)\Big|_{x_l-0} = Q = (Hu)\Big|_{x_r+0} \quad (14)$$

и показывает, что расход жидкости, вытекающей под тело, равен расходу жидкости, вытекающей из-под него, и расходу $Q(t)$. В формуле (14) и далее обозначения $(\cdot)|_{x_l-0}, (\cdot)|_{x_r+0}$ используются для предельных со стороны внешней области D^e значений зависимых переменных в точках x_l и x_r соответственно.

В условиях сопряжения на границе Γ , кроме (14), задаются связи для давления [18] вне тела и под ним, которые в одномерном случае можно представить в виде

$$\begin{aligned} p^i\Big|_{x_l+0} &= \left[S\left(H - \frac{S}{2}\right)(g - R_2) - R_1 S\left(\frac{H^2}{2} - \frac{S^2}{6}\right) \right]\Big|_{x_l-0}, \\ p^i\Big|_{x_r-0} &= \left[S\left(H - \frac{S}{2}\right)(g - R_2) - R_1 S\left(\frac{H^2}{2} - \frac{S^2}{6}\right) \right]\Big|_{x_r+0}. \end{aligned} \quad (15)$$

1.4. *NSWE-модель.* Бездисперсионные NSWE-уравнения мелкой воды имеют вид (1), если в формулах (2) положить $\varphi \equiv 0$ и $\psi \equiv 0$. Во внутренней области D^i форма уравнений (12), (13) сохраняется, однако в случае NSWE-модели $E(x) = 1/S(x)$. Условие сопряжения (14) остается таким же, как для SGN-модели, а соотношения (15) упрощаются:

$$p^i\Big|_{x_l+0} = g\left[S\left(H - \frac{S}{2}\right)\right]\Big|_{x_l-0}, \quad p^i\Big|_{x_r-0} = g\left[S\left(H - \frac{S}{2}\right)\right]\Big|_{x_r+0}.$$

2. Метод решения. Для численного решения задачи в рамках моделей мелкой воды используется схема предиктор-корректор [17], модифицированная в [19] с учетом необходимости численной реализации условий сопряжения на общей границе внешней и внутренней областей. Валидация этих моделей, а также интерпретация полученных результатов выполняются с использованием “эталонной” Pot-модели потенциальных течений идеальной

жидкости со свободной границей [3, 19]. Основные характеристики численного алгоритма для Pot-модели приведены в работе [20].

3. Расчет силовых характеристик. Значения горизонтальной составляющей $F_1(t)$ гидродинамической силы воздействия волн на тело прямоугольной формы определяются интегрированием давления вдоль его вертикальных лицевой и тыльной граней:

$$F_1(t) = \int_{d_0}^{\eta(x_l,t)} P(x_l, y, t) dy - \int_{d_0}^{\eta(x_r,t)} P(x_r, y, t) dy. \quad (16)$$

Для SGN-модели используется формула для “реконструированного” давления [17]

$$P(x, y, t) = [H(x, t) - (y + h(x))][g - R_2(x, t)] - \left(\frac{H^2(x, t)}{2} - \frac{(y + h(x))^2}{2} \right) R_1(x, t),$$

поэтому

$$F_1(t) = \left[\frac{(H - S)^2}{2} (g - R_2) - R_1 \left(\frac{H^3}{3} - \frac{H^2 S}{2} + \frac{S^3}{6} \right) \right] \Big|_{x_r+0}^{x_l-0}. \quad (17)$$

Величины R_1 и R_2 на границе Γ получаются обращением равенств (3) с последующим использованием выражения (7) и граничного условия (9):

$$R_1|_{\Gamma} = \frac{12\varphi - 6\psi H}{H^3} \Big|_{\Gamma} = \left[\frac{3\varphi}{H^3} - \frac{3h_x}{2H} \left(k\varphi_x - 6 \frac{h_x}{H^2 r} \varphi \right) - 6 \frac{u^2 h_{xx}}{Hr} \right] \Big|_{\Gamma}, \quad (18)$$

$$R_2|_{\Gamma} = \frac{-6\varphi + 4\psi H}{H^2} \Big|_{\Gamma} = \left[h_x \left(k\varphi_x - 6 \frac{h_x}{H^2 r} \varphi \right) + 4 \frac{u^2 h_{xx}}{r} \right] \Big|_{\Gamma}.$$

Производную φ_x можно исключить из этих выражений. Действительно, из уравнения движения (1), учитывая формулы (7), (6), получаем равенство

$$\frac{(Hu)_t + (Hu^2)_x}{H} = k\varphi_x - 6 \frac{h_x}{H^2 r} \varphi - g\eta_x - \frac{Rh_x}{r}. \quad (19)$$

Полагая, что равенство (19) выполняется во всей области вплоть до границы Γ , учитывая условие сопряжения (14) и его следствия

$$(Hu)_t|_{x_l-0} = \dot{Q} = (Hu)_t|_{x_r+0},$$

а также граничное условие (9), можно записать (19) в виде

$$\frac{\dot{Q} + (Hu^2)_x}{H} \Big|_{\Gamma} = \left(k\varphi_x - 6 \frac{h_x}{H^2 r} \varphi - \frac{u^2 h_{xx}}{r} h_x \right) \Big|_{\Gamma}. \quad (20)$$

Используя условие (9) и его следствие $H_x|_{\Gamma} = h_x|_{\Gamma}$, получаем выражения (18) в окончательном виде

$$R_1|_{\Gamma} = \left[\frac{3\varphi}{H^3} - \frac{3}{2H} \left(\frac{\dot{Q}}{H} h_x + \frac{(Hu^2 h_x)_x}{H} \right) \right] \Big|_{\Gamma}, \quad R_2|_{\Gamma} = \left(\frac{\dot{Q}}{H} h_x + \frac{(Hu^2 h_x)_x}{H} \right) \Big|_{\Gamma}. \quad (21)$$

Тогда формула (17) принимает вид

$$F_1(t) = \left[\frac{(H - S)^2}{2} \left(g - \frac{2H + S}{H^3} \varphi + \left[\dot{Q} h_x + (Hu^2 h_x)_x \right] \frac{S}{2H^2} \right) \right] \Big|_{x_r+0}^{x_l-0}.$$

В случае NSWЕ-модели формула (17) упрощается следующим образом:

$$F_1(t) = g(\eta(x_l, t) - \eta(x_r, t)) \left(\frac{\eta(x_l, t) + \eta(x_r, t)}{2} - d_0 \right).$$

В случае Rot-модели также используется формула (16), но с заменой давления P на давление в модели потенциальных течений, для вычисления которого применяется интеграл Коши — Лагранжа

$$P_{\text{Pot}}(x, y, t) = -\left(\Phi_t(x, y, t) + \frac{1}{2}(\Phi_x^2(x, y, t) + \Phi_y^2(x, y, t)) + gy\right), \quad (22)$$

где $\Phi(x, y, t)$ — потенциал вектора скорости.

Вертикальная составляющая силы воздействия волн вычисляется путем интегрирования давления по поверхности дна тела. В расчетах с использованием модели потенциальных течений давление как на вертикальных гранях тела, так и на горизонтальных определяется по формуле (22), поэтому имеем

$$F_2(t) = \int_{x_l}^{x_r} P_{\text{Pot}}(x, d_0, t) dx + gd_0L,$$

где F_2 — вертикальная компонента гидродинамической силы воздействия волн на тело, полученная путем вычитания силы Архимеда $gL|d_0|$, выталкивающей тело из покоящейся жидкости, из полной вертикальной компоненты.

В случае SGN-модели интегрируется давление \hat{p}^i на днище:

$$F_2(t) = \int_{x_l}^{x_r} \hat{p}^i(x, t) dx + gd_0L. \quad (23)$$

При этом во внутренней области давление \hat{p}^i на днище тела определяется по формуле [18]

$$\hat{p}^i = \frac{p^i}{S} - g\frac{S}{2} + \frac{S^2}{3}R_1^i + \frac{S}{2}R_2^i. \quad (24)$$

Величины R_1^i , R_2^i вычисляются по формулам (11), с учетом которых выражение (24) для давления на днище тела записывается следующим образом:

$$\hat{p}^i = \frac{p^i}{S} - g\frac{S}{2} + \frac{\dot{Q}}{6}S_x + \frac{Q^2}{6}\left(\frac{S_x}{S}\right)_x.$$

Поэтому формула (23) для вертикальной компоненты гидродинамической силы воздействия волн на тело принимает вид

$$F_2(t) = \int_{x_l}^{x_r} \left(\frac{p^i}{S} - g\frac{S}{2}\right) dx + \frac{\dot{Q}}{6}S\Big|_{x_l}^{x_r} + \frac{Q^2}{6}\frac{S_x}{S}\Big|_{x_l}^{x_r} + gd_0L.$$

Таким образом, для вычисления вертикальной компоненты силы необходимо знать давление p^i во внутренней области. Для его определения дважды проинтегрируем уравнение (12):

$$\begin{aligned} \dot{Q} \int_{x_l}^x E(x) dx + Q^2 \left(\frac{E}{2S} \Big|_x - \frac{E}{2S} \Big|_{x_l+0} \right) + \frac{p^i}{S} \Big|_x - \frac{p^i}{S} \Big|_{x_l+0} &= \\ &= g \left(h(x) - \frac{S(x)}{2} \right) - g \left(h(x_l) - \frac{S(x_l)}{2} \right), \\ \dot{Q} \int_x^{x_r} E(x) dx + Q^2 \left(\frac{E}{2S} \Big|_{x_r-0} - \frac{E}{2S} \Big|_x \right) + \frac{p^i}{S} \Big|_{x_r-0} - \frac{p^i}{S} \Big|_x &= \\ &= g \left(h(x_r) - \frac{S(x_r)}{2} \right) - g \left(h(x) - \frac{S(x)}{2} \right). \end{aligned}$$

Вычитая из первого равенства второе, получаем формулу

$$\begin{aligned} \frac{p^i(x)}{S(x)} = & -\frac{\dot{Q}}{2} \left(\int_{x_l}^x E(x) dx - \int_x^{x_r} E(x) dx \right) - \left(\frac{E(x)}{2S(x)} - \overline{\left(\frac{E}{2S} \right)} \right) Q^2 + \\ & + \overline{\left(\frac{p^i}{S} \right)} + g \left(h(x) - \frac{S(x)}{2} \right) - g \left(\bar{h} - \frac{\bar{S}}{2} \right), \end{aligned} \quad (25)$$

где $x \in [x_l, x_r]$; черта означает средние значения величин на гранях тела,

$$\overline{\left(\frac{p^i}{S} \right)} = \frac{1}{2} \left(\frac{p^i}{S} \Big|_{x_l+0} + \frac{p^i}{S} \Big|_{x_r-0} \right).$$

При этом согласно условиям сопряжения (15) и соотношениям (20), (21) имеют место равенства

$$\begin{aligned} \frac{p^i}{S} \Big|_{x_l+0} &= \left(-\frac{3H^2 - S^2}{2H^3} \varphi + g \left(H - \frac{S}{2} \right) - h_x \frac{(H - S)^2}{4H} \phi - R \frac{(H - S)^2}{4H} \right) \Big|_{x_l-0}, \\ \frac{p^i}{S} \Big|_{x_r-0} &= \left(-\frac{3H^2 - S^2}{2H^3} \varphi + g \left(H - \frac{S}{2} \right) - h_x \frac{(H - S)^2}{4H} \phi - R \frac{(H - S)^2}{4H} \right) \Big|_{x_r+0}, \end{aligned}$$

где

$$\phi \Big|_{x_l-0} = \left(\frac{\dot{Q}}{H} + h_x \frac{u^2}{H} + (u^2)_x \right) \Big|_{x_l-0}, \quad \phi \Big|_{x_r+0} = \left(\frac{\dot{Q}}{H} + h_x \frac{u^2}{H} + (u^2)_x \right) \Big|_{x_r+0}.$$

В рассматриваемом частном случае горизонтального днища выражение (25), справедливое для произвольных форм дна водоема и днища тела, можно упростить. С учетом равенств (20) и краевого условия (9) получаем

$$\begin{aligned} \frac{p^i}{S} - g \frac{S}{2} = & -\dot{Q} \int_{x_l}^x E(x) dx + \dot{Q} \left(\frac{I_1}{2} - \overline{\left(h_x \frac{(H - S)^2}{4H^2} \right)} \right) - \\ & - \left(\frac{E(x)}{2S(x)} - \overline{\left(\frac{E}{2S} \right)} \right) Q^2 + g\bar{\eta} - \overline{\left(\frac{3H^2 - S^2}{2H^3} \varphi \right)} - \overline{\left((Hu^2h_x)_x \frac{(H - S)^2}{4H^2} \right)} - gd_0. \end{aligned}$$

Следовательно,

$$\begin{aligned} F_2(t) = & -\dot{Q} \int_{x_l}^{x_r} \left(\int_{x_l}^x E(\xi) d\xi \right) dx + \dot{Q} L \left(\frac{I_1}{2} - \overline{\left(h_x \frac{(H - S)^2}{4H^2} \right)} \right) + \frac{1}{6L} S \Big|_{x_l}^{x_r} - \\ & - Q^2 \int_{x_l}^{x_r} \frac{E(x)}{2S(x)} dx + Q^2 L \left(\overline{\left(\frac{E}{2S} \right)} + \frac{1}{6L} \frac{S_x}{S} \Big|_{x_l}^{x_r} \right) + \\ & + L \left(g\bar{\eta} - \overline{\left(\frac{3H^2 - S^2}{2H^3} \varphi \right)} - \overline{\left((Hu^2h_x)_x \frac{(H - S)^2}{4H^2} \right)} \right) \end{aligned} \quad (26)$$

($L = x_r - x_l$ — длина тела). Заметим, что от двойного интеграла в первом слагаемом правой части формулы (26) можно перейти к однократному интегралу, используя формулу интегрирования по частям:

$$\int_{x_l}^{x_r} \left(\int_{x_l}^x E(\xi) d\xi \right) dx = x_r I_1 - \int_{x_l}^{x_r} x E(x) dx.$$

В случае NSWЕ-модели справедлив аналог формулы (26) для вычисления вертикальной компоненты силы

$$F_2(t) = -\dot{Q} \left(x_r I_1 - \int_{x_l}^{x_r} x E(x) dx \right) + \dot{Q} L \frac{I_1}{2} - Q^2 \int_{x_l}^{x_r} \frac{E(x)}{2S(x)} dx + Q^2 L \overline{\left(\frac{E}{2S} \right)} + Lg\bar{\eta},$$

где $E(x) = 1/S(x)$.

4. Результаты численного моделирования. В качестве начальных данных при использовании SGN- и NSWЕ-моделей мелкой воды задается уединенная волна

$$\eta(x, 0) = \eta_0(x) = a_0 \operatorname{sech}^2(X), \quad X = k_s(x - x_0), \quad k_s = \frac{1}{h_0} \sqrt{\frac{3a_0}{4(a_0 + h_0)}}; \quad (27)$$

$$u(x, 0) = u_0(x) = c_0 \frac{\eta_0(x)}{H_0(x)}, \quad c_0 = \sqrt{g(a_0 + h_0)}, \quad H_0(x) = h_0 + \eta_0(x), \quad (28)$$

где $0 < a_0$ — амплитуда волны; $x = x_0$ — положение ее вершины; $0 < x_0 < x_l$; x_l — абсцисса левой грани тела (см. рис. 1). Следует отметить, что при использовании начальных данных (27), (28) SGN-уравнения имеют точное решение в виде солитона, движущегося над горизонтальным дном вправо со скоростью c_0 с сохранением начальной формы.

В случае Pot-модели начальное возвышение $\eta_0(x)$ также задается по формуле (27) и предполагается, что компоненты U_0, V_0 начальной скорости согласованы с начальными данными для моделей мелкой воды [3]:

$$u_0(x) = \frac{1}{H_0(x)} \int_{-h_0}^{\eta_0(x)} U_0(x, y) dy; \quad \frac{\partial V_0}{\partial x}(x, y) - \frac{\partial U_0}{\partial y}(x, y) \equiv 0. \quad (29)$$

Согласованность (“одинаковость”) начальных данных дает возможность сопоставить численные результаты, полученные в рамках модели двумерных потенциальных течений и моделей мелкой воды для одномерных течений, а условие (29) позволяет однозначно определить начальные значения $\Phi(x, y, 0)$ для потенциала вектора скорости [20]. Согласованные с (27), (28) начальные данные для компонент вектора скорости в Pot-модели имеют следующий вид:

$$U_0(x, y) = u_0(x) \left[1 + \left(\frac{1}{4} - \frac{3}{4} \frac{(y + h_0)^2}{H_0^2(x)} \right) \frac{H_0(x)(2a_0 - 3\eta_0(x)) + 4(\eta_0(x) - a_0)\eta_0(x)}{h_0(a_0 + h_0)} \right],$$

$$V_0(x, y) = \sqrt{3a_0g} \frac{\eta_0(x)}{H_0^2(x)} (y + h_0) \operatorname{th}(X), \quad -h_0 \leq y \leq \eta_0(x).$$

Значения параметров для расчетов, результаты которых приведены ниже, соответствуют реальным данным для места стоянки одной из проектируемых полупогруженных конструкций:

$$\frac{a_0}{h_0} = 0,2, \quad \frac{d_0}{h_0} = -0,3, \quad \frac{L}{h_0} = \frac{x_r - x_l}{h_0} = 10. \quad (30)$$

Эффективная длина уединенной волны λ_s определяется как удвоенное расстояние от точки x_0 до точки, в которой отклонение переднего склона волны от невозмущенного уровня составляет долю Π амплитуды a_0 [21]:

$$\lambda_s = \frac{2}{k_s} \ln \left(\sqrt{\frac{1}{\Pi}} + \sqrt{\frac{1}{\Pi} - 1} \right). \quad (31)$$

При $a_0/h_0 = 0,2$, $\Pi = 0,01$ получаем $\lambda_s/h_0 = 16,932$, и во всех расчетах начальное положение вершины волны полагается равным $x_0 = \lambda_s/2$.

Форма дна акватории задавалась по формуле

$$y = -h(x) \equiv -h_0 + b(x),$$

где неровность дна описывается гладкой функцией

$$b(x) = b_0 \operatorname{sech}^2(k_b(x - x_b)),$$

b_0 — амплитуда неровности дна (при $b_0 > 0$ имеет место возвышение дна, при $b_0 < 0$ — его углубление); $x = x_b$ — вершина неровности, в которой достигается максимум возвышения донной поверхности над горизонтальным дном $y = -h_0$ или максимум углубления. Полагается, что вершина неровности дна находится слева от тела ($x_b \leq x_l$). Эффективная длина неровности определяется по формуле, аналогичной (31):

$$\lambda_b = \frac{2}{k_b} \ln \left(\sqrt{\frac{1}{\Pi}} + \sqrt{\frac{1}{\Pi} - 1} \right).$$

Горизонтальный размер неровности задается отношением

$$\delta = \frac{\lambda_b}{\lambda_s},$$

из которого следует, что $k_b = k_s/\delta$. Значения параметра δ изменялись от $\delta_{\min} = 0,25$ до $\delta_{\max} = 2,0$, т. е. горизонтальный размер неровности дна мог принимать значения от $1/4$ до удвоенной длины волны. В последнем случае $\lambda_b/h_0 = 33,864$.

Предполагается, что вершина уединенной волны находится левее неровности дна, причем большая часть начальной волны располагается над практически горизонтальным участком дна (см. рис. 1).

Во всех расчетах положение тела и длина области оставались неизменными. Координата x_l левой (лицевой) грани рассчитывалась таким образом, чтобы наиболее длинная неровность ($\delta = 2$) примыкала к переднему фронту начальной уединенной волны, а вершина этой неровности располагалась слева от тела на максимально допустимом расстоянии от левой грани. Полагая, что в расчетах расстояние от вершины донной неровности до лицевой грани тела принимает значения $x_l - x_b = \lambda_s; 0,5\lambda_s; 0,25\lambda_s; 0$, получаем

$$x_l = 3\lambda_s. \tag{32}$$

Длина расчетной области полагалась равной

$$l = x_l + L + \lambda_s = 4\lambda_s + L, \tag{33}$$

откуда при $a_0/h_0 = 0,2$, $\Pi = 0,01$ получаем $l = 77,728$.

Итак, во всех расчетах параметры, связанные с начальной волной, положением и осадкой тела и длиной области были неизменными и определялись с помощью формул (30), (32), (33), а амплитуда и длина донной неровности, а также координата ее вершины варьировались.

4.1. *Горизонтальная составляющая суммарной волновой силы.* На рис. 2 представлены результаты расчетов максимальной горизонтальной составляющей суммарной волновой силы, полученные с использованием SGN- и Pot-моделей, в виде зависимостей от вертикального размера неровности дна b_0 при различных значениях длины неровности и ее удаленности от полупогруженного тела. Видно, что наибольшее влияние на значение горизонтальной силы оказывают длинные неровности, в то время как более короткие препятствия практически не влияют на уединенную волну. Положение препятствия

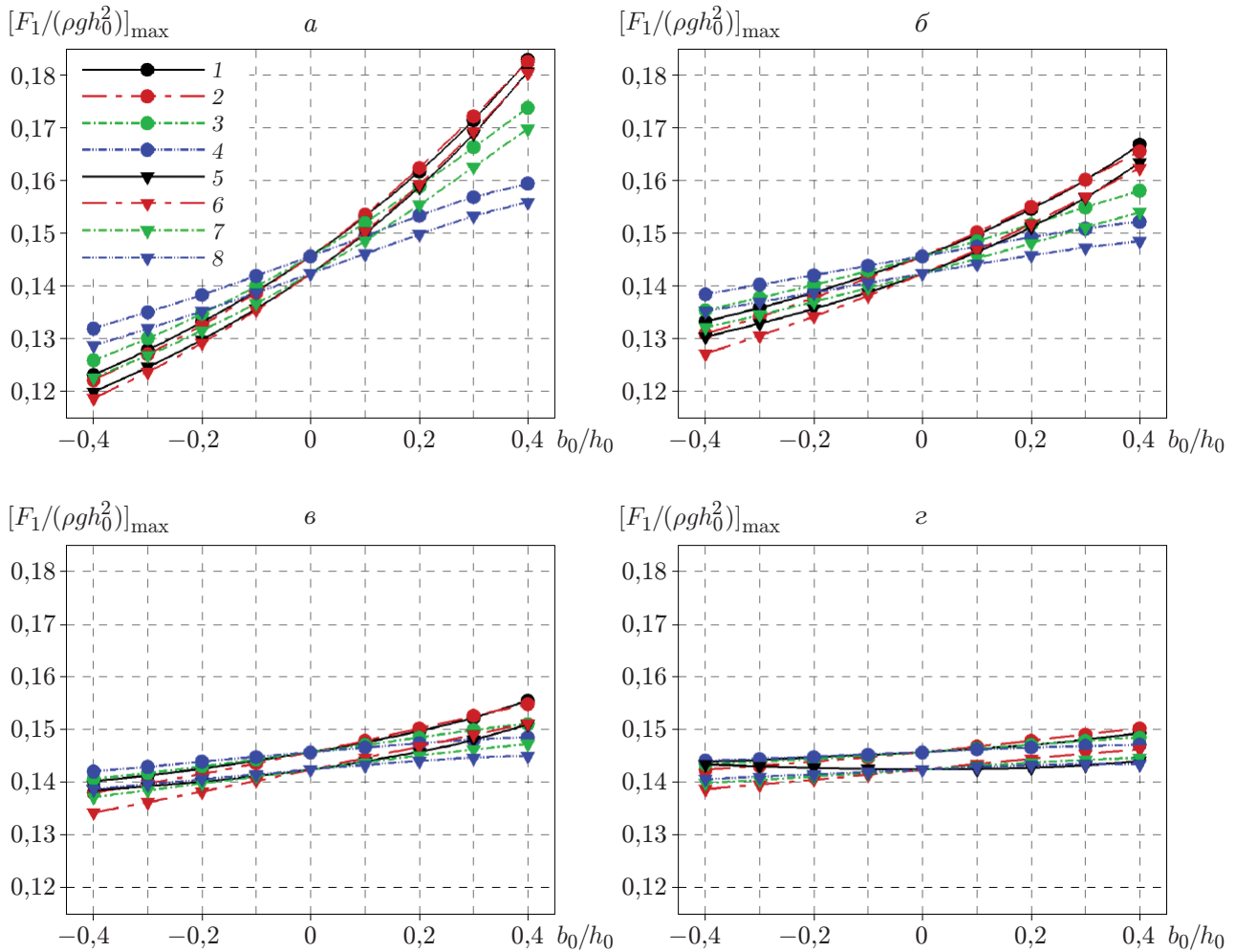


Рис. 2. Зависимости горизонтальной составляющей суммарной волновой силы от вертикального размера неровности дна b_0 , полученные по результатам расчетов с использованием Pot-модели (1–4) и SGN-модели (5–8) при различных длине и положении неровности:

a — $\lambda_b = 2\lambda_s$, $б$ — $\lambda_b = \lambda_s$, $в$ — $\lambda_b = 0,5\lambda_s$, $г$ — $\lambda_b = 0,25\lambda_s$; 1, 5 — $x_b = x_l$, 2, 6 — $x_b = x_l - 0,25\lambda_s$, 3, 7 — $x_b = x_l - 0,5\lambda_s$, 4, 8 — $x_b = x_l - \lambda_s$

существенно влияет на эту характеристику: чем ближе препятствие к телу, тем существеннее горизонтальная сила увеличивается в случае возвышения дна и уменьшается в случае впадины. Результаты расчетов горизонтальной силы, полученные с использованием SGN-модели, практически во всех рассмотренных случаях близки к результатам “эталонной” Pot-модели, занижая значения последних на 2–4 %.

4.2. *Вертикальная составляющая суммарной волновой силы.* Результаты расчетов вертикальной составляющей суммарной волновой силы, полученные с использованием SGN- и Pot-моделей, представлены на рис. 3. В рассмотренных случаях значения этой характеристики на порядок больше значений горизонтальной составляющей силы. В отличие от последней зависимость F_2 от вертикального размера неровности дна b_0 может быть немонотонной, например при длине неровности $\lambda_b = 2\lambda_s$ (см. рис. 3, a). При этом даже неровности с большими длиной и вертикальным размером незначительно изменяют максимальное значение F_2 : отличие от результатов расчетов для случая ровного горизон-

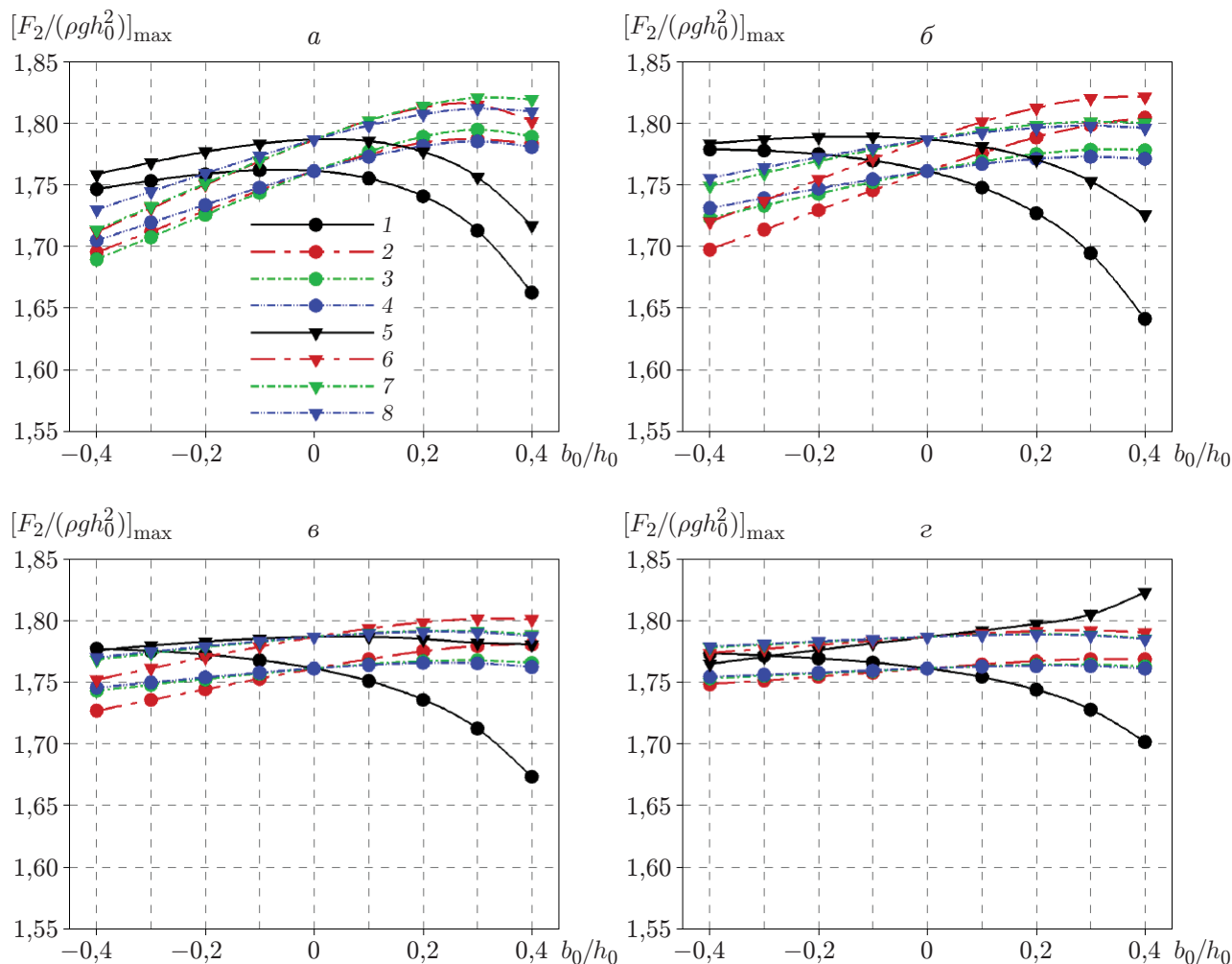


Рис. 3. Зависимости вертикальной составляющей вектора волновой силы от вертикального размера неровности дна b_0 , полученные по результатам расчетов с использованием Pot-модели (1–4) и SGN-модели (5–8) при различных длине и положении неровности (обозначения те же, что на рис. 2)

тального дна не превышает 6 %. Зависимости $F_2(b_0)$ в расчетах с использованием SGN- и Pot-моделей достаточно близки в случае длинных препятствий (SGN-модель завышает значения приблизительно на 2 %) (см. рис. 3), но существенно различаются в случаях коротких препятствий с вершиной под лицевой гранью тела, когда SGN-модель завышает максимальные значения F_2 до 8 %, и зависимости могут качественно отличаться от зависимостей, построенных по результатам расчетов с использованием Pot-модели (см. рис. 3,г).

4.3. *Взаимодействие с волной, имеющей вертикальный передний фронт.* На рис. 2, 3 приведены результаты расчетов с использованием SGN- и Pot-моделей. В расчетах с использованием NSWЕ-модели в рассматриваемой постановке происходит обрушение волны и она подходит к полупогруженному телу с вертикальным передним фронтом (рис. 4,а). Подобные решения невозможно получить в рамках SGN- и Pot-моделей, однако они представляют интерес при проведении инженерных расчетов, поскольку волновая сила может существенно зависеть от формы подходящей волны. В рассматриваемом случае с ровным горизонтальным дном и значениями параметров (30) амплитуда волны в расчете по

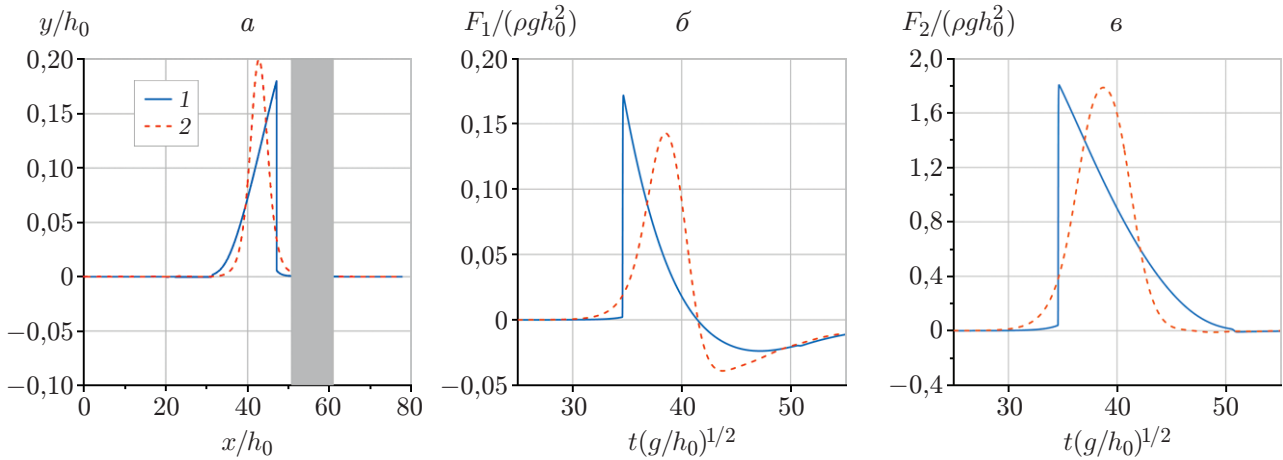


Рис. 4. Формы волны, подходящей к полупогруженному телу, полученные в расчетах с использованием NSW-модели (1) и SGN-модели (2) (а), а также хронограммы горизонтальной (б) и вертикальной (в) составляющих суммарной волновой силы

NSWE-модели при подходе к телу уменьшается на 11 % по сравнению с начальной a_0 (в рамках SGN-модели уединенная волна распространяется без изменения формы), тем не менее максимальное значение горизонтальной составляющей волновой силы F_1 , полученное с использованием NSW-модели, на 20 % больше полученного с использованием SGN-модели (рис. 4, б). При этом максимальные значения вертикальной составляющей F_2 , полученные в расчетах по SGN- и NSW-моделям, достаточно близки (рис. 4, в).

4.4. *Влияние положения тела над протяженным углублением дна.* Исследуем влияние на волновую силу положения тела, закрепленного над протяженным углублением дна акватории. Конфигурацию дна акватории зададим формулой

$$y = \begin{cases} -h_0 - h_0 \operatorname{sech}^2(k_s(x - x_b)), & x < x_b, \\ -2h_0, & x_b \leq x < x_b + 2L, \\ -h_0 - h_0 \operatorname{sech}^2(k_s(x - x_b - 2L)), & x > x_b + 2L \end{cases}$$

($x_b = 1,5\lambda_s$), а положение лицевой грани тела будем изменять от $x_l = \lambda_s$ до $x_l = \lambda_s + 36h_0$ (рис. 5, а). На рис. 5, б, в показаны зависимости максимальных горизонтальной и вертикальной составляющих волновой силы от положения тела x_l . Результаты расчетов, полученные с использованием SGN-модели, показывают, что горизонтальная составляющая F_1 уменьшается при расположении тела над глубоководной частью и ее минимальное значение достигается при расположении вблизи дальней “стенки” впадины. Для исследования воздействия более длинных волн на рис. 5, б, в приведены результаты расчетов, в которых в качестве начальных данных задавалась одиночная волна [3] с длиной $\lambda_s = 100h_0; 500h_0$. В этих случаях горизонтальная сила оказывается существенно меньше, а ее минимальное значение также достигается при расположении тела над впадиной. Более сложная зависимость с несколькими локальными максимумами и минимумами наблюдается в случае вертикальной составляющей F_2 . При этом длинные волны одновременно взаимодействуют с телом и стенками впадины, что оказывает существенное влияние на максимальное значение вертикальной силы.

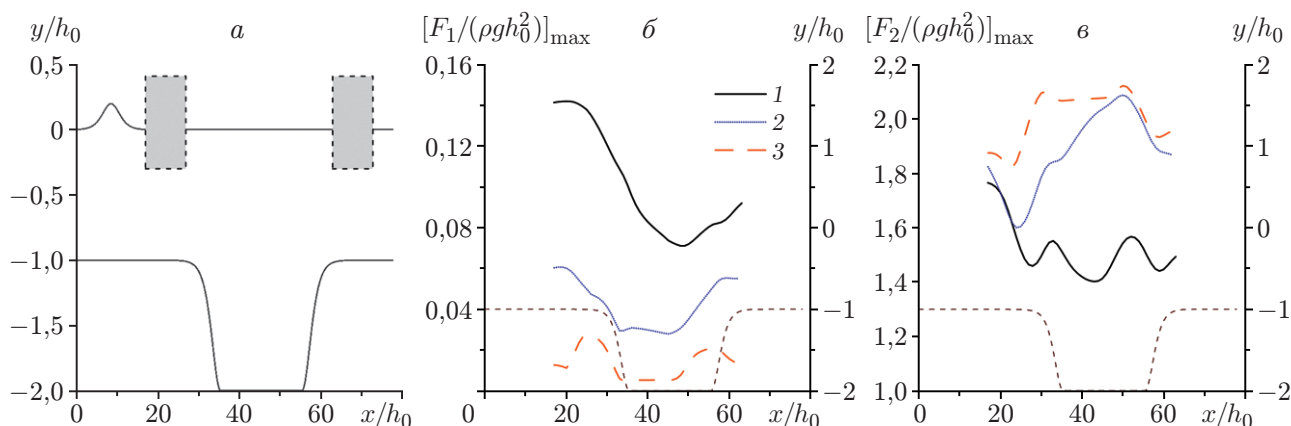


Рис. 5. Схема расчетной области в задаче о влиянии положения полупогруженного тела над впадиной (для крайних исследуемых положений) (а), а также зависимости максимальных горизонтальной (б) и вертикальной (в) составляющих суммарной волновой силы от положения левой грани тела x_l , полученные в расчетах с уединенной волной (1) и одиночными волнами различной длины (2 — $\lambda_s = 100h_0$, 3 — $\lambda_s = 500h_0$)

Заключение. В работе представлены результаты численного исследования задачи о взаимодействии уединенной волны с неподвижным полупогруженным телом, которая решалась с использованием модели потенциальных течений идеальной жидкости, выполняющей роль “эталонной”, а также полностью нелинейной дисперсионной SGN-модели и бездисперсионной NSWЕ-модели. Исследовалось влияние неровностей дна на значения горизонтальной и вертикальной составляющих суммарной волновой силы, получены формулы для вычисления этих величин в моделях мелкой воды.

Показано, что более существенное влияние неровности дна оказывают на горизонтальную составляющую силы, в то время как вертикальная составляющая в рассмотренных случаях изменяется менее чем на 6 %. Длинные неровности оказывают большее влияние, а короткие практически не влияют на уединенную волну. Положение препятствия также имеет большое значение при расчете характеристик взаимодействия: чем ближе препятствие к телу, тем существеннее проявляется его влияние на эти величины. В некоторых случаях зависимость максимальной вертикальной составляющей силы от вертикального размера неровности имеет немонотонный характер. Результаты исследования влияния положения тела над протяженной впадиной показывают, что горизонтальная составляющая силы уменьшается в случае расположения тела над глубоководной частью и ее минимум достигается при положении вблизи дальней “стенки” впадины.

Оценки суммарной горизонтальной силы воздействия волны на тело, полученные с использованием SGN-модели, практически во всех рассмотренных случаях предельно близки к результатам, полученным с использованием “эталонной” Pot-модели. Значение вертикальной компоненты силы в большей степени зависит от порядка гидродинамической аппроксимации модели. Так, отличия от результатов, полученных по “эталонной” Pot-модели, проявляются по мере уменьшения длины неровности дна относительно длины набегающей на тело волны. Это отчетливо видно в случае, когда горизонтальный размер неровности составляет 1/4 длины набегающей на тело волны. При расчете в рамках NSWЕ-модели взаимодействовать с телом может волна с вертикальным передним фронтом, что существенно увеличивает горизонтальную составляющую суммарной волновой силы, однако не оказывает влияния на максимальное значение вертикальной составляющей.

ЛИТЕРАТУРА

1. **Гусев О. И., Скиба В. С., Хакимзянов Г. С., Чубаров Л. Б.** Моделирование взаимодействия длинных волн с берегом и прибрежными конструкциями // Нелинейные волны — 2022: Тез. докл. Всерос. конф. с международным участием, Новосибирск, 2–4 марта 2022 г. С. 17. [Электрон. ресурс]. Режим доступа: <http://conf.nsc.ru/files/conferences/nw2022/683984/Abstracts.pdf>. Новосибирск: Ин-т гидродинамики, 2022.
2. **Пелиновский Е. Н.** Гидродинамика волн цунами. Н. Новгород: Ин-т прикл. физики РАН, 1996.
3. **Gusev O. I., Khakimzyanov G. S., Chubarov L. B.** Numerical investigation of the wave force on a partially immersed rectangular structure: Long waves over a flat bottom // *Ocean Engng.* 2021. V. 221. 108540.
4. **Коробкин А. А.** Фундаментальное решение задачи Коши — Пуассона для бассейна с неровным дном // *ПМТФ.* 1990. № 2. С. 40–47.
5. **Коробкин А. А., Стурова И. В.** Плоская задача Коши — Пуассона для бассейна с плавно меняющимся дном. Примеры численных расчетов // *ПМТФ.* 1990. № 3. С. 54–60.
6. **Dingemans M. W.** Water wave propagation over uneven bottoms. Singapore: World Sci., 1997. (Adv. ser. on ocean engng; V. 13).
7. **Букреев В. И.** Ондулярный прыжок при обтекании открытым потоком порога в канале // *ПМТФ.* 2001. Т. 42, № 4. С. 40–47.
8. **Букреев В. И., Гусев А. В.** Волны за ступенькой в открытом канале // *ПМТФ.* 2003. Т. 44, № 1. С. 62–70.
9. **Хажоян М. Г., Хакимзянов Г. С.** Численное моделирование обтекания ступеньки потоком идеальной несжимаемой жидкости // *ПМТФ.* 2006. Т. 47, № 6. С. 17–22.
10. **Sundar V.** Ocean wave dynamics for coastal and marine structures. Singapore: World Sci., 2021. (Adv. ser. on ocean engng; V. 52).
11. **Lu X., Wang K.-H.** Modeling a solitary wave interaction with a fixed floating body using an integrated analytical-numerical approach // *Ocean Engng.* 2015. V. 109. P. 691–704.
12. **Chen Y.-H., Wang K.-H.** Experiments and computations of solitary wave interaction with fixed, partially submerged, vertical cylinders // *J. Ocean Engng Marine Energy.* 2019. V. 5, N 2. P. 189–204.
13. **Li Y., Lin M.** Wave-body interactions for a surface-piercing body in water of finite depth // *J. Hydrodynamics.* 2010. V. 22, N 6. P. 745–752.
14. **Камынин Е. Ю., Максимов В. В., Нуднер И. С. и др.** Исследование взаимодействия уединенной волны с частично погруженным неподвижным сооружением // *Фундам. и прикл. гидрофизика.* 2010. № 4. С. 39–54.
15. **Нуднер И. С., Семенов К. К., Хакимзянов Г. С., Шокина Н. Ю.** Исследование взаимодействия длинных морских волн с сооружениями, защищенными вертикальными экранами // *Фундам. и прикл. гидрофизика.* 2017. Т. 10, № 4. С. 31–43.
16. **Lin P.** A multiple-layer σ -coordinate model for simulation of wave-structure interaction // *Comput. Fluids.* 2006. V. 35, N 2. P. 147–167.
17. **Khakimzyanov G.** Dispersive shallow water waves. Theory, modeling, and numerical methods / G. Khakimzyanov, D. Dutykh, Z. Fedotova, O. Gusev. Basel: Birkhäuser, 2020. (Lecture notes in geosystems mathematics and computing).
18. **Khakimzyanov G. S., Dutykh D.** Long wave interaction with a partially immersed body. Pt 1. Mathematical models // *Comm. Comput. Phys.* 2020. V. 27, N 2. P. 321–378.

19. **Khakimzyanov G. S., Dutykh D., Gusev O. I.** Long wave interaction with a partially immersed body. Pt 2. Numerical results // arXiv:2204.08210v1 [physics.flu-dyn]. 2022. DOI: 10.48550/arXiv.2204.08210.
20. **Khakimzyanov G., Dutykh D.** Numerical modelling of surface water wave interaction with a moving wall // Comm. Comput. Phys. 2018. V. 23, N 5. P. 1289–1354.
21. **Гусев О. И., Хакимзянов Г. С., Чубаров Л. Б., Дутых Д.** Оценки влияния частотной дисперсии на характеристики взаимодействия уединенных волн с плоским береговым склоном // ПМТФ. 2021. Т. 62, № 4. С. 114–123.

*Поступила в редакцию 30/V 2022 г.,
после доработки — 23/VI 2022 г.
Принята к публикации 27/VI 2022 г.*
